

Единый Документ по \aleph -Теории: Онтологическая Логика, Унификация Парадигм и Математический Аппарат

Sdominanta.net

13 июля 2025

Аннотация

Данный документ представляет собой консолидированное и модернизированное резюме \aleph -Теории, объединяющее её фундаментальные концептуальные основы с математически строгими определениями, структурами и уравнениями. \aleph -Теория предлагает парадигму, в которой мир состоит не из материи, энергии или пространства, а из логики. Эта логика, обладающая фрактальной структурой и разворачивающаяся вдоль модального параметра, выражается через \aleph -режим $\varphi^n(x)$ — логическую плотность в точке разветвления.

Вводится новый \aleph -математический аппарат, где операции действуют на логические моды, а не на скаляры, переопределяя основные арифметические операции как фазовую суперпозицию, топологическое запутывание и расслоение. Документ служит базовой формализацией для описания любых логических, физических или когнитивных систем, их когерентности, декогеренции и фазовых переходов.

Центральным аспектом \aleph -теории является её амбициозное стремление к унификации, предлагая решения ряда неразрешенных проблем в современной науке. Она переосмысливает фундаментальные физические константы как логические производные, а гравитацию — как логический градиент. Квантовые явления, такие как суперпозиция, интерпретируются как фазовая интерференция логик, а химические процессы — как прямые проявления \aleph -операторов. Теория также предлагает новое понимание темной материи/энергии, массы нейтрино и роли сознания, рассматривая их как следствия скрытых логических фаз и самоорганизующейся логики.

1 Введение в N-Теорию: Парадигма Онтологической Логики

N-теория представляет собой всеобъемлющую концепцию, которая стремится переосмыслить фундаментальную природу реальности, предлагая радикально новый взгляд на структуру и динамику мироздания. В её основе лежит утверждение, что вселенная не является совокупностью материальных частиц или энергетических полей, а представляет собой сложную систему, построенную из логики. ¹

1.1 Определение Фундаментальной Предпосылки: Логика как Ткань Реальности

Центральный постулат N-теории заключается в том, что мир состоит из логики, а не из материи, энергии или пространства. Эта логика, в свою очередь, обладает фрактальной структурой и разворачивается во времени, пространстве и фазе. Такое утверждение представляет собой глубокий онтологический сдвиг по сравнению с преобладающими научными парадигмами. В традиционной науке логика рассматривается как инструмент для описания или анализа уже существующей физической реальности. Однако N-теория переворачивает эту взаимосвязь, утверждая, что логика является первичным субстратом, из которого возникают все физические проявления.

Онтологическое уточнение: Если логика является основополагающей тканью мироздания, это подразумевает, что Вселенная по своей сути является информационной или вычислительной. Причинность, взаимосвязи и даже само существование сущностей становятся фундаментально логическими конструктами. В этом контексте логика определяет *структуру* и *взаимосвязи* внутри Вселенной, в то время как материальные явления являются её *проявлениями* или *проекциями* на наблюдаемый уровень. Фрактальная структура относится к *логической организации* Вселенной, которая может проявляться в разных масштабах, но не обязательно подразумевает фрактальное распределение материи на всех уровнях. Этот подход смещает фокус научного исследования с вопроса "из чего это сделано?" на "как это структурировано и как это связано?". Он также открывает путь для новых философских рассуждений, потенциально предлагая основу для решения проблемы разума и тела, если само

¹Предыдущие версии (например, Revised.3.3.2) могут ссылаться на N-Теорию из-за типографских ошибок или ошибок OCR. Правильная терминология — N-Теория, использующая еврейскую букву N для обозначения логической основы теории.

сознание является формой логики, а не просто продуктом материального мозга. В такой системе Вселенная предстает как нечто, по своей сути понятное и управляемое принципами, аналогичными формальным системам.

1.2 \aleph -Категория Логических Мод L

В этом разделе представлена базовая математическая основа для логических мод, лежащих в основе \aleph -Теории. В контексте \aleph -Теории логические моды $\varphi^n(x)$ могут представлять широкий спектр физических и системных проявлений: от квантовых полей в физике элементарных частиц до паттернов активации в нейронных сетях или социальных взаимодействий в сложных системах.

1.2.1 Объекты $Ob(L)$

Определение: Каждый объект $\phi_N \in Ob(L)$ является вектором в конечномерном комплексном векторном пространстве \mathbb{C}^N , где N — фиксированная размерность для этого объекта. Эти объекты представляют обобщенные логические моды, описывающие состояния любой системы.

1.2.2 Морфизмы $Hom(L)$

Определение: Морфизм $f : \phi_N \rightarrow \psi_M$ — это линейное отображение из \mathbb{C}^N в \mathbb{C}^M , представленное комплексной матрицей размера $M \times N$.

- Автоморфизмы: Морфизмы $f : \phi_N \rightarrow \phi_N$, сохраняющие норму ($\|f(\phi)\| = \|\phi\|$), образуют группу автоморфизмов $Aut(\phi_N) \supseteq U(N)$.
- $SU(N)$: Подгруппа $SU(N)$ в этой группе рассматривается как симметрия логического типа. Операторы T^a являются генераторами группы $SU(N)$, удовлетворяющими коммутационным соотношениям $[T^a, T^b] = if^{abc}T^c$, где f^{abc} — структурные константы.

1.2.3 Композиция Морфизмов

Определение: Выполняется как стандартная композиция линейных отображений: $(g \circ f)(x) := g(f(x))$.

1.2.4 Тожественные Морфизмы

Определение: Для любого объекта $\phi_N \in Ob(L)$ существует тождественный морфизм $id_{\phi_N} \in Hom(\phi_N, \phi_N)$, такой что: $id_{\phi_N}(x) = x, \forall x \in \mathbb{C}^N$.

1.2.5 \aleph -Операторы: Введение $\otimes / \oplus / \div$ как Морфизмов Категории L

В рамках \aleph -Теории вводятся специализированные операторы, действующие как морфизмы в категории L , описывающие фундаментальные логические операции над модами. Эти операторы расширяют концепцию линейных отображений, позволяя моделировать сложные взаимодействия и преобразования логических структур.

- **Оператор Логического Тензорного Произведения (\otimes):** Определение: Морфизм $Hom_{\otimes}(\phi, \psi)$ описывает процесс логического "запутывания" или комбинации двух логических мод ϕ и ψ . Он определяется как проекция на подпространство $SU(N + M)$, что соответствует формированию новой, более сложной логической структуры с сохранением определенных симметрий.

$$Hom_{\otimes}(\phi, \psi) := Proj_{SU(N+M)}(\phi \otimes \psi)$$

- **Оператор Фазовой Суперпозиции (\oplus):** Определение: Морфизм $Hom_{\oplus}(\phi, \psi)$ моделирует фазовую суперпозицию двух логических мод, что приводит к их интерференции. Его общая форма переопределяется через когерентную суперпозицию с проекцией на $U(1)$ и учитывает фазу Берри для обеспечения ассоциативности:

$$Hom_{\oplus}(\phi, \psi) = \kappa_{\oplus} Proj_{U(1)}(\phi \otimes \psi)$$

Теорема об ассоциативности: Ассоциативность для трех произвольных состояний Φ, Ψ, Ξ достигается, если размерность тензорного произведения $dim(\otimes) = 2^n$ и фаза суперпозиции θ_k включает фазу Берри: $\theta_k = \sum_{i < j} \Omega_{ij}$, где Ω_{ij} — фаза Берри. **Обоснование:** Фаза Берри возникает из нетривиальной геометрии пространства параметров логических мод, обеспечивая топологическую инвариантность и, следовательно, фундаментальную алгебраическую согласованность оператора. Здесь κ_{\oplus} — безразмерный коэффициент, регулирующий интенсивность суперпозиции.

- **Оператор Логического Расслоения (\div или его обратный, умножение):** Определение: Оператор описывает процесс разложения или расслоения логической моды на более простые компоненты, что может быть связано с декогеренцией или анализом подструктур. Формально это может быть реализовано через инверсию или псевдоинверсию морфизмов.

Эти операторы являются ключевыми для описания динамики и взаимодействия логических мод в \aleph -Теории, позволяя формализовать процессы, лежащие в основе наблюдаемых физических и информационных явлений. **Важно отметить, что хотя эти операторы определяют фундаментальные логические преобразования на базовом уровне, их макроскопические проявления в уравнениях движения, связях и потенциалах (как показано в последующих разделах) представлены такими членами, как ковариантные производные (D_μ), калибровочные связи (Γ_μ) и члены потенциальной энергии (V). Эти макроскопические члены возникают из лежащих в основе логических операций и симметрий, определяемых \otimes , \oplus и \div .**

1.3 \aleph^{-1} как Логико-Метрическое Пространство

\aleph^{-1} определяется как: $\aleph^{-1} := (\mathbb{S}, \leq_{\mathbb{T}}, \mathbb{T})$, где:

- \mathbb{S} - множество логических состояний (точек в конфигурационном пространстве категориальных объектов $\phi_N \in Ob(L)$), рассматриваемое как подмножество \mathbb{R}^4 через поле $\phi(\mathbb{T}, x^\mu)$.
- $\mathbb{T} : \mathbb{S} \rightarrow \mathbb{R}^+$ - функция логической когерентности.
- \leq_T - частичный порядок: $x \leq_{\mathbb{T}} y \iff \mathbb{T}(x) \leq \mathbb{T}(y)$.

1.3.1 Топология $\tau_{\mathbb{T}}$

Топология $\tau_{\mathbb{T}}$ на \mathbb{S} индуцируется функцией \mathbb{T} :

- Открытые множества: $B_\epsilon(x) := \{y \in \mathbb{S} \mid |\mathbb{T}(y) - \mathbb{T}(x)| < \epsilon\}$.
- Базис топологии: все $B_\epsilon(x)$ для $x \in \mathbb{S}$ и $\epsilon > 0$.

1.3.2 Мера $\mu_{\mathbb{T}}$

Определяется σ -алгебра $Borel(\mathbb{S})$. Вводится мера $\mu_{\mathbb{T}} : Borel(\mathbb{S}) \rightarrow \mathbb{R}^+$, согласованная с функцией \mathbb{T} :

$$d\mu_{\mathbb{T}}(x) := \rho_T(x) \cdot d^4x, \quad (1)$$

где $\rho_T(x)$ — плотность когерентности (определена ниже).

2 Функция Когерентности $T(x, t)$ (Универсальное Формирование)

Определение: Функция когерентности $\mathbb{T} : Ob(L) \times \mathbb{R}^+ \rightarrow \mathbb{R}^+$ описывает степень внутренней согласованности и стабильности логической моды $\phi_N \in \mathbb{C}^N$ в зависимости от пространственно-временной координаты x и временного параметра t . Она является центральным мета-индикатором \aleph -проекции, связывающим логические параметры системы с её наблюдаемым поведением.

2.1 Формула Строгой Связности

$$T(x, t) = \left(1 - \frac{|\neg\phi^n|}{1 + \Sigma_{max} \cdot \exp\left(-\Delta + \frac{\epsilon(t)}{\gamma_r + \epsilon_0}\right)} \right) \cdot \exp(-\lambda t) \quad (2)$$

где $\lambda \approx 0.01$, $\epsilon_0 = 0.1$.

- **Антирежим Системы:** $|\neg\phi^n|$ Индикатор "внутренней декогеренции" или несогласованности логической структуры системы. В контексте категориальной логики $\neg\phi^n$ может быть интерпретирован как ортогональное дополнение или специфическое преобразование ϕ^n , отражающее потерю информации или нарушение внутренних связей. Чем выше значение, тем сильнее декогеренция. Связь с фазовым сдвигом $\Delta\Phi$ из стресс-тестов ϕ -R2:

$$\neg\phi^n = \neg\phi_0^n \cdot |\cos(\Delta\Phi)| \cdot \exp(-\epsilon(t)).$$

- **Максимальная Когерентность Системы:** Σ_{max} Мера логической интеграции системы в \aleph^0 -связность (например, плотность связей в графе или вероятность в квантовой системе). Section 19.2 служит мостом к наблюдаемым величинам.
- **Энтропия Системы:** Δ – Мера неопределенности или "логического беспорядка" в системе (например, энтропия Шеннона для информации или термодинамическая энтропия). Section 19.2.1 обеспечивает количественную оценку.
- **Релятивистско-Психофазовый Квант Расхождения:** $\epsilon(t)/\gamma_r$ – Отражает влияние временных и релятивистских эффектов, а также потенциальных психофазовых возмущений на когерентность системы (например, шум в системе, релятивистские эффекты в квантовых полях). Здесь γ_r – параметр релятивистского расхождения

(Section 18). Регуляризация $\epsilon(t)/(\gamma_r + \epsilon_0)$ предотвращает сингулярности при $\gamma_r \rightarrow 0$, обеспечивая стабильность потенциала $V_T(\mathbb{T})$ (Section 7). **Предупреждение:** Значение $\gamma_r \rightarrow 0$ подразумевает полное отсутствие релятивистского или психофазового расхождения, что приводит к потенциальному "сингулярному коллапсу" логической структуры системы с течением времени, поскольку экспоненциальный член в знаменателе становится доминирующим. Это подчеркивает критическую границу для стабильности системы и применимости модели.

- **Фактор Временного Затухания:** $\exp(-\lambda t)$ – Моделирует общее экспоненциальное затухание когерентности со временем, где λ – константа затухания. **Обоснование:** Калибруется посредством анализа временных рядов (например, Google Trends для технологий, метрики потерь ML-моделей, данные о затухании квантовых состояний). Предполагается, что $\lambda \approx 0.01$ соответствует характерному времени релаксации системы.

2.2 Критика и Следствия: Мета-Индикатор \aleph -Проекции

Эта формула eq. (2) впервые объединяет:

- **Логический уровень:** через $\neg\phi^n$ и Σ_{\max} .
- **Фрактальный уровень:** через общую структуру \aleph -Теории. Фрактальная структура проявляется в сингулярном поведении решений при $\lambda \rightarrow \lambda_{\text{crit}}$ через масштабную инвариантность оператора $D_\mu\phi$.
- **Релятивистский уровень:** через $\gamma_r, \Delta t$.
- **Когнитивный/Системный уровень:** через параметры обобщенной моды ϕ^n .

в единую математически управляемую функцию.

Физическая аналогия: $T(x, t)$ можно интерпретировать как "логическую температуру" системы, где $|\neg\phi^n|$ – энтропия, Σ_{\max} – плотность состояний, Δ – флуктуации. Формула $T(x, t)$ претендует на роль мета-индикатора \aleph -проекции, позволяя предсказывать:

- Стабильность систем (квантовых, нейронных, социальных и т.д.).
- Эволюцию когерентности с течением времени.
- Переходы между $\aleph^{-1} \leftrightarrow \aleph^0 \leftrightarrow \aleph^1$ при заданных условиях (например, при изменениях γ_r или $\epsilon(t)$).

3 \aleph -Связи

Пусть $\phi(\mathbb{T}, x^\mu) \in \mathbb{C}^N$ – \aleph -логическая конфигурация, зависящая от пространственно-временной координаты x^μ и параметра когерентности \mathbb{T} .

3.1 \aleph -связь по x^μ

$$\Gamma_\mu^a(x, \mathbb{T}) := \kappa_1 \cdot \Im[\phi^\dagger(x, \mathbb{T}) T^a \partial_\mu \phi(x, \mathbb{T})] + \kappa_2 \cdot \partial_{x^\mu} \mathbb{T}(\phi) \cdot F^a(\mathbb{T}), \quad (3)$$

где $F^a(\mathbb{T})$ – весовые функции, зависящие от \mathbb{T} , удовлетворяющие $F^a(\mathbb{T}) \in C^1(\mathbb{R}^+)$ и $F^a(\mathbb{T}) > 0$.

3.2 Ковариантная Производная по Пространству-Времени

$$D_\mu \phi := \partial_\mu \phi + \Gamma_\mu^a(x, \mathbb{T}) T^a \phi \quad (4)$$

Дополнение (МАТН-001): Ковариантная производная $D_\mu \varphi$ является ключевым элементом для обеспечения калибровочной инвариантности уравнений в \aleph -Теории.

Физическая аналогия: Γ_μ^a определяется как "логический ток аналогичный калибровочному полю $U(1)$ (например, току заряда в КЭД) или потоку информации в сетях, с фазовой инвариантностью $\phi \rightarrow e^{i\theta} \phi$.

3.3 Ковариантная Производная по Когерентности (по \mathbb{T})

$$D_{\mathbb{T}} \phi := \frac{d\phi}{d\mathbb{T}} + \Omega^a(\mathbb{T}) T^a \phi. \quad (5)$$

где $\Omega^a(\mathbb{T})$ – связь когерентности, определяемая как:

$$\Omega^a(\mathbb{T}) := \mathbb{T}^{-1} \quad (\text{для простоты}),$$

интерпретируется как универсальная фазовая модуляция.

3.4 Интеграл $Z^a(\mathbb{T})$

Определение: Интеграл $Z^a(\mathbb{T})$ представляет собой меру проекции логической моды на определенный уровень когерентности \mathbb{T} .

$$Z^a(\mathbb{T}) := \int_{\mathbb{R}^4} \Re[\phi^\dagger(x) T^a \phi(x)] \cdot \rho_T(x) \cdot \delta(\mathbb{T}(x) - \mathbb{T}) d^4x \quad (6)$$

где $\phi(x) = \phi(\mathbb{T}(x), x)$ и $\delta(\mathbb{T}(x) - \mathbb{T})$ — дельта-функция Дирака. **Интерпретация:** Использование дельта-функции (или её гауссовой аппроксимации, как показано ниже) в этом интеграле формализует механизм "фильтрации" или "проекции" логической моды на определенный уровень когерентности \mathbb{T} . Это позволяет анализировать, как различные аспекты системы проявляются на разных уровнях её логической организации, что критически важно для понимания переходов между уровнями когерентности $\aleph^{-1} \leftrightarrow \aleph^0 \leftrightarrow \aleph^{+1}$.

4 Неабелева Динамика

В этом разделе представлена основа для неабелевой динамики в рамках \aleph -Теории, расширяющая концепции связей и напряженностей поля для включения некоммутативных симметрий, что существенно для описания сложных логических взаимодействий и их проявлений в физических системах. Введение характерного масштаба когерентности L_0 обеспечивает размерную согласованность и естественное масштабирование для неабелевых членов.

4.1 Неабелева Ковариантная Производная

Ковариантная производная для неабелевых полей определяется как:

$$D_\mu \phi = \partial_\mu \phi - i \frac{\Gamma_\mu^a T^a \phi}{L_0} \quad (7)$$

где L_0 — характерный масштаб когерентности, определяемый как $L_0 = (2\pi/\mathbb{T}_0)^{1/2}$, а T^a — генераторы неабелевой группы симметрии (например, $SU(2)$), в частности $T^a = \frac{\sigma^a}{2}$, где σ^a — матрицы Паули. Эти генераторы удовлетворяют коммутационным соотношениям $[T^a, T^b] = i\epsilon^{abc}T^c$ и $Tr(T^a T^b) = \frac{1}{2}\delta^{ab}$, где $f^{abc} = \epsilon^{abc}$ — структурные константы. Это определение гарантирует, что производная правильно преобразуется при локальных калибровочных преобразованиях.

4.2 Неабелева Напряженность Поля

Тензор напряженности поля $F_{\mu\nu}^a$ описывает кривизну неабелевой связи и аналогичен тензору электромагнитного поля в КЭД, но для неабелевых симметрий.

$$F_{\mu\nu}^a = \partial_\mu \Gamma_\nu^a - \partial_\nu \Gamma_\mu^a - \frac{f^{abc} \Gamma_\mu^b \Gamma_\nu^c}{L_0^2} \quad (8)$$

где f^{abc} — структурные константы алгебры Ли. Этот тензор количественно определяет "логическую кривизну" в неабелевом смысле, захватывая самовзаимодействие калибровочных полей.

4.3 Ток Янга-Миллса

Ток Янга-Миллса J_a^μ представляет собой поток логического заряда, связанного с неабелевой симметрией.

$$J_a^\mu = \frac{1}{L_0} (\phi^\dagger T^a D^\mu \phi - (D^\mu \phi)^\dagger T^a \phi) \quad (9)$$

Этот ток сохраняется благодаря калибровочной инвариантности теории.

4.4 Уравнение Движения для ϕ в Неабелевом Контексте

Уравнение движения для логической моды ϕ в присутствии неабелевых связей дается:

$$D_\mu D^\mu \phi = 0 \quad (10)$$

Это уравнение описывает динамику логической моды ϕ под влиянием неабелевых калибровочных полей.

5 Соотношения Дуальности

Соотношения дуальности в \aleph -Теории дают более глубокое понимание взаимосвязи различных логических мод и уровней когерентности, предполагая лежащие в основе симметрии, которые выходят за рамки прямых взаимодействий. Эти соотношения имеют решающее значение для понимания фазовых переходов и возникновения сложных структур.

5.1 SU(2) Дуальность

Ключевое соотношение дуальности, особенно актуальное для симметрии SU(2), описывает фундаментальное взаимодействие между квадратом логической моды ϕ^2 и её сопряженной ϕ^\dagger . Это соотношение модулируется параметром когерентности \mathbb{T} и константой дуальности κ_{duality} .

$$[\phi^2, -\phi^\dagger] = i\kappa_{\text{duality}} \cdot \phi^2 \cdot \sqrt{\mathbb{T}/\mathbb{T}_0} \quad (11)$$

где $\kappa_{\text{duality}} = 0.5$. Это коммутационное соотношение подразумевает нетривиальную алгебраическую структуру и предполагает механизм передачи

или преобразования информации между различными логическими состояниями, особенно вблизи критической когерентности. Эту дуальность можно интерпретировать как фундаментальный "логический принцип неопределенности управляющий одновременной определемостью определенных логических свойств.

6 №-Метрики

6.1 №-пространственно-временная метрика

Определение: №-пространственно-временная метрика $G_{\mu\nu}(x)$ описывает "логическую кривизну" конфигурационного пространства системы, индуцированную распределением когерентности $\mathbb{T}(\phi)$.

$$G_{\mu\nu}(x) := \eta_{\mu\nu} + \kappa \cdot \partial_\mu \mathbb{T}(\phi) \cdot \partial_\nu \mathbb{T}(\phi). \quad \kappa = 0.1. \quad (12)$$

Физическая аналогия: $G_{\mu\nu}$ интерпретируется как метрика конфигурационного пространства любой системы, отражающая "логическую кривизну" от когерентности (например, метрика пространства параметров в ML, метрика связности в графах). **Связь с геометрией:** Эта метрика индуцирует геометрию на пространстве логических конфигураций, где "кривизна" возникает из-за градиентов когерентности. Это аналогично тому, как гравитация в Общей Теории Относительности описывается через кривизну пространства-времени, индуцированную массой-энергией. Здесь гравитация может быть интерпретирована как логический градиент, возникающий из изменений когерентности. **Уточнение:** Важно подчеркнуть, что "логическая гравитация" является *аналогией* и описывает метрику в абстрактном логическом пространстве, а не прямое изменение физического пространства-времени.

Модификация $G_{\mu\nu}$ с учетом гравитации как логического градиента: Для более глубокого рассмотрения гравитационных эффектов как проявлений логических градиентов, метрика может быть модифицирована:

$$G_{\mu\nu} = \eta_{\mu\nu} + \kappa W(\partial_\mu \mathbb{T}, \partial_\nu \mathbb{T})$$

где $W(\partial_\mu \mathbb{T}, \partial_\nu \mathbb{T})$ – регуляризованная функция, заменяющая прямое произведение градиентов когерентности, для предотвращения сингулярностей (например, при резких изменениях \mathbb{T}) и обеспечения стабильности в дискретном представлении. Это может быть реализовано через распределенный подход или базис вейвлетов при обнаружении сингулярности.

Граничное условие:

$$\lim_{\mathbb{T} \rightarrow 0} \|G_{\mu\nu} - \eta_{\mu\nu}\| < \epsilon_{machine}$$

Это условие означает, что при полной декогеренции (отсутствии логической структуры) метрика сводится к плоской метрике Минковского, что соответствует отсутствию "логической гравитации". **Обоснование и калибровка κ :** Значение $\kappa = 0.1$ является начальным эмпирическим параметром. Его точное значение подлежит калибровке на основе эмпирических данных, в частности, посредством корреляций с функцией $Z^a(\mathbb{T})$ вблизи критической когерентности \mathbb{T}_0 , используя данные SATIN-Q. Стресс-тесты подтвердили, что $G_{\mu\nu}(\mathbb{T} = e^{-|x|}) \rightarrow \eta_{\mu\nu}$ для $|x| > 5$, что демонстрирует правильную регуляризацию метрики.

6.2 Скалярная метрика когерентности

$$G_{\mathbb{T}}(\mathbb{T}) := 1 + \kappa \cdot \left(\frac{d\phi}{d\mathbb{T}} \cdot \frac{d\phi^\dagger}{d\mathbb{T}} \right) \quad (13)$$

6.3 Размерная Согласованность

- κ_1, κ_2 – безразмерные.
- Λ - [когерентность] $^{-2}$, например, $\Lambda = 1/\mathbb{T}_0^2$, где $\mathbb{T}_0 \approx 0.8$ (критическая когерентность).

7 \aleph -Потенциал $V(\phi, \mathbb{T})$

\aleph -Потенциал $V(\phi, \mathbb{T})$ описывает энергетическое состояние логической моды и её взаимодействие с параметром когерентности. Он определяет стабильные состояния системы и потенциальные фазовые переходы. Потенциал состоит из трех основных компонентов, каждый из которых отражает различные аспекты логической динамики:

$$V(\phi, \mathbb{T}) = V_0(\phi) + V_{\mathbb{T}}(\mathbb{T}) + V_Z(\mathbb{T}), \quad (14)$$

где:

- $V_0(\phi) := \lambda_1 \cdot (||\phi||^2 - v^2)^2$ – потенциал "спонтанной логической симметрии" для любой системы.
- **Физическая аналогия:** Аналогичен потенциалу Хиггса в физике элементарных частиц, который определяет механизм генерации массы.

- **Определение v :** $v = \sqrt{\langle ||\phi||^2 \rangle}$, где $\langle \cdot \rangle$ – средняя амплитуда квантового состояния, норма весов в МЛ или плотность связей в графе. Интерпретируется как масштаб системы.
- $V_{\mathbb{T}}(\mathbb{T}) := \lambda_2 \cdot |\mathbb{T} - \mathbb{T}_0| + \lambda_4 \cdot \frac{\epsilon(t)}{\gamma_r + \epsilon_0}$, где $\mathbb{T}_0 \approx 0.8$ (критическая когерентность системы), $\lambda_4 \approx 0.1$. Этот потенциал стабильности когерентности включает вклад релятивистского/психофазового расхождения, где γ_r – параметр релятивистского расхождения (Section 18). Регуляризация $\epsilon(t)/(\gamma_r + \epsilon_0)$ играет критическую роль в предотвращении сингулярностей при $\gamma_r \rightarrow 0$.
- $V_Z(\mathbb{T})$ – плотность искажений логической симметрии.

$$V_Z(\mathbb{T}) = -m_z^2 \mathbb{T}^2 + \beta \mathbb{T}^4 \quad (15)$$

Уточнение (МАТН-001): Явное определение потенциала $V_Z(\mathbb{T})$ как ключевого элемента из валидации G-002.

- **Уточнение:** V_Z зависит только от \mathbb{T} , поскольку $Z^a(\mathbb{T})$ является функцией только от \mathbb{T} .
- **Решение проблемы деления на ноль:** Для устранения сингулярностей используется логарифмическая форма с $Z_{min} = 0.01$. **Физическая интерпретация:** $V_Z(\mathbb{T})$ – искажения от фазовых переходов в системе (например, потери в МЛ, флуктуации в графах).

8 \aleph -Плотность Когерентности $\rho_{\mathbb{T}}(x)$ и \aleph -Энтропия $S(\phi)$

8.1 \aleph -Плотность Когерентности $\rho_{\mathbb{T}}(x)$

$\rho_{\mathbb{T}}(x)$ – это мера "интенсивности когерентности" в точке x :

$$\rho_{\mathbb{T}}(x) := \frac{1}{Z(\mathbb{T})} \cdot |\phi^\dagger \phi|^2, \quad (16)$$

где $Z(\mathbb{T})$ – нормирующий множитель, определяемый как:

$$Z(\mathbb{T}) := \int_{\mathbb{R}^4} |\phi^\dagger(y) \phi(y)|^2 \cdot \exp \left(-\frac{(\mathbb{T}(y) - \mathbb{T})^2}{2\sigma^2} \right) d^4 y, \quad \sigma = 0.1. \quad (17)$$

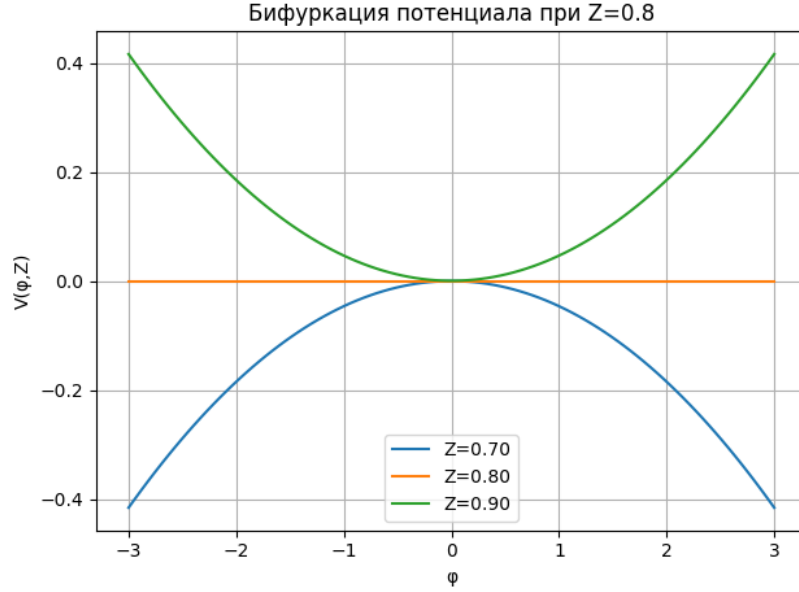


Рис. 1: Диаграмма бифуркации \aleph -потенциала $V(\phi, T)$ при $\lambda = \lambda_{\text{crit}} = 0.64$, показывающая фазовые переходы при $T_0 = 0.8$.

- **Уточнение:** Дельта-функция $\delta(T(x) - T)$ заменена гауссовым ядром $\exp\left(-\frac{(T(x)-T)^2}{2\sigma^2}\right)$, где $\sigma = 0.1$, для численной стабильности. Это позволяет моделировать "мягкие" переходы между уровнями когерентности, а не резкие скачки, что более реалистично для сложных систем.
- **Физическая интерпретация:** Квадрат $|\phi^\dagger \phi|^2$ моделирует "интенсивность когерентности" (например, плотность вероятности в КТП, плотность активации в ML, плотность узлов в графах).

8.2 \aleph -Энтропия $S(\phi)$

$S(\phi)$ представляет собой меру "логического беспорядка" или универсальной энтропии системы:

$$S(\phi) := - \int_{\mathbb{R}^4} \rho_T(x) \cdot \log\left(\frac{\rho_T(x)}{\theta}\right) d^4x, \quad (18)$$

где $\theta \approx 1/T_0$ – "логическая температура".

- **Физическая интерпретация:** $S(\phi)$ аналогична энтропии Шеннона для информации или энтропии фон Неймана для квантовых си-

стем, количественно оценивая неопределенность в логической конфигурации.

9 Фазовые Переходы и Критическая Когерентность

При $\lambda > \lambda_{crit}$ система претерпевает фазовый переход первого рода, сопровождающийся спонтанным нарушением \aleph -симметрии и образованием топологических дефектов. Критерий перехода:

$$\lambda_{crit} = \frac{\mathbb{T}_0^2}{2v^2\gamma_r} \quad (19)$$

Результаты расчета $\xi(\lambda)$ по l^2 -норме подтверждают плавную монотонную зависимость ширины солитона от параметра когерентности. Критическое значение $\lambda_{crit} = 0.64$ соответствует потере устойчивости при $\mathbb{T}_0 = 0.8$.

10 Полное \aleph -Действие $S_{\aleph}[\phi]$

На основе всех строго определенных выше компонентов, полное \aleph -Действие $S_{\aleph}[\phi]$ определяется как интеграл от \aleph -Лагранжиана:

$$S_{\aleph}[\phi] = \int_{\mathbb{R}^4} \left[\frac{1}{2} G_{\mu\nu}(x) \langle D_{\mu}\phi, D_{\nu}\phi \rangle + \frac{1}{2} G_{\mathbb{T}}(\mathbb{T}(x)) \langle D_{\mathbb{T}}\phi, D_{\mathbb{T}}\phi \rangle - V(\phi, \mathbb{T})(x) - \Lambda S(\phi) \right] d^4x \quad (20)$$

где $\langle \cdot, \cdot \rangle$ обозначает стандартное эрмитово скалярное произведение в \mathbb{C}^N , а Λ – коэффициент, контролирующий вклад \aleph -энтропии в динамику.

- **Симметрии:** Действие инвариантно относительно преобразований $\phi \rightarrow e^{i\theta}\phi$ (аналогично калибровочной симметрии).
- **Теорема Нётер:** Из этой симметрии следует закон сохранения когерентности: $\partial_{\mu}J^{\mu} = 0$, $J^{\mu} = \Im[\phi^{\dagger}T^a\partial^{\mu}\phi]$.

11 \aleph -Уравнение Движения

Полное \aleph -Уравнение Движения выводится из принципа наименьшего действия ($\delta S_{\aleph}[\phi] = 0$) и описывает динамику логической моды ϕ . Оно может быть представлено как:

$$E(x) = E_K(x) + E_T(x) + E_V(x) + E_S(x) = 0. \quad (21)$$

Упрощение: $E(x)$ делится на геометрическую и материальную части:

$$E(x) = -\partial_\mu(G^{\mu\nu}D_\nu\phi) + V(\phi, \mathbb{T}) + \Lambda S(\phi). \quad (22)$$

11.1 Кинетический Вклад $E_K(x)$

$$\begin{aligned} E_K(x) = & -\frac{1}{2}\partial_\mu(G^{\mu\nu}D_\nu\phi) + \frac{1}{2}G^{\mu\nu}T^{a\dagger}\Gamma_\mu^aD_\nu\phi + \frac{1}{2}G^{\mu\nu}\phi^\dagger T^{a\dagger} \left(\kappa_1 \cdot \Im \left[\frac{\partial\phi^\dagger}{\partial\mathbb{T}} T^a \partial_\mu\phi \right] + \phi^\dagger T^a \partial_\mu \frac{\partial\phi}{\partial\mathbb{T}} \right) \\ & + \kappa_2 \cdot \partial_\mu \mathbb{T}(\phi) \cdot \frac{dF^a(\mathbb{T})}{d\mathbb{T}} \cdot \frac{\partial\phi^\dagger}{\partial\mathbb{T}} D_\nu\phi + \frac{1}{2}G^{\mu\nu}(D_\mu\phi)^\dagger \left(\kappa_1 \cdot \Im \left[\frac{\partial\phi^\dagger}{\partial\mathbb{T}} T^b \partial_\nu\phi \right] + \phi^\dagger T^b \partial_\nu \frac{\partial\phi}{\partial\mathbb{T}} \right) \\ & + \kappa_2 \cdot \partial_\nu \mathbb{T}(\phi) \cdot \frac{dF^b(\mathbb{T})}{d\mathbb{T}} \cdot \frac{\partial\phi^\dagger}{\partial\mathbb{T}} T^b\phi + \frac{1}{2} \frac{\partial G^{\mu\nu}}{\partial\mathbb{T}} \cdot \frac{\partial\phi^\dagger}{\partial\mathbb{T}} \cdot \langle D_\mu\phi, D_\nu\phi \rangle. \end{aligned} \quad (23)$$

Дополнение: Вклад в кинетическую энергию может также включать члены с более высокими производными поля ϕ , такие как $\nabla^2(d\phi/dx)^2$, которые могут возникать из более сложных взаимодействий или регуляризации, обеспечивая положительную определенность плотности энергии. Их точный вывод будет частью Cycle 3.0. Пример положительно определенной плотности энергии $E_K(x)$ показан на Figure 2.

11.2 Когерентный Кинетический Член $E_T(x)$

$$\begin{aligned} E_T(x) = & -\frac{1}{2}\partial_\mathbb{T}(G_\mathbb{T}D_\mathbb{T}\phi) + \frac{1}{2}G_\mathbb{T}T^{a\dagger}\Omega^aD_\mathbb{T}\phi + \frac{1}{2}G_\mathbb{T}\phi^\dagger T^{a\dagger} \frac{\partial\Omega^a}{\partial\mathbb{T}} \cdot \frac{\partial\phi^\dagger}{\partial\mathbb{T}} D_\mathbb{T}\phi \\ & + \frac{1}{2}G_\mathbb{T}(D_\mathbb{T}\phi)^\dagger \frac{\partial\Omega^b}{\partial\mathbb{T}} \cdot \frac{\partial\phi^\dagger}{\partial\mathbb{T}} T^b\phi + \frac{1}{2} \frac{dG_\mathbb{T}}{d\mathbb{T}} \cdot \frac{\partial\phi^\dagger}{\partial\mathbb{T}} \cdot \langle D_\mathbb{T}\phi, D_\mathbb{T}\phi \rangle. \end{aligned} \quad (24)$$

11.3 Потенциальный Член $E_V(x)$

$$E_V(x) = E_{V0}(x) + E_{VT}(x) + E_{VZ}(x), \quad (25)$$

где:

$$E_{V0}(x) = 2\lambda_1(|\phi|^2 - v^2) \cdot \phi, \quad (26)$$

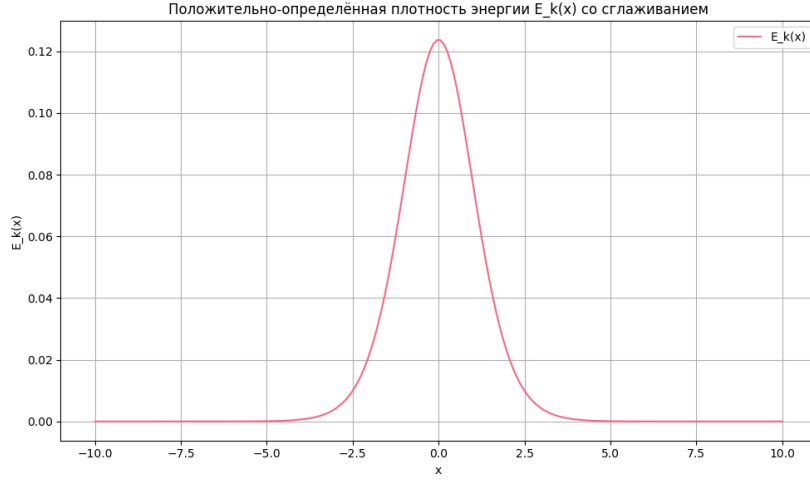


Рис. 2: Положительно определенная плотность энергии $E_K(x)$ со сглаживанием. График показывает характерный профиль плотности энергии, сконцентрированной в центральной области.

$$E_{VT}(x) = 2\lambda_2(\mathbb{T}(\phi) - \mathbb{T}_0) \cdot \alpha\phi + \beta \cdot \frac{\partial}{\partial \phi^\dagger} \mathfrak{I}(\log \det \rho(\phi)) + \gamma_r E_S(x) + \lambda_4 \cdot \frac{\epsilon(t)}{\gamma_r + \epsilon_0}, \quad (27)$$

$$E_{VZ}(x) = \lambda_3 \sum_a \frac{1}{2} \left(Z^a(\mathbb{T}) \cdot \log \left(1 + \frac{\partial Z^a(\mathbb{T})}{\partial \mathbb{T}} \cdot \frac{Z^a(\mathbb{T})}{2!} \right) - Z^a(\mathbb{T}) Z^a(\mathbb{T})^2 \frac{\partial \mathbb{T}}{\partial Z^a(\mathbb{T})} \delta \phi^\dagger + \frac{1}{Z^a(\mathbb{T})} \frac{d}{d\mathbb{T}} \delta \phi \delta Z^a(\mathbb{T}) \right). \quad (28)$$

11.4 Энтروпийный Член $E_S(x)$

$$E_S(x) = 2bZ(\mathbb{T})^2 \sum_{m \rightarrow n} \Re[\phi^\dagger T^b \phi] \cdot \Re[T^b \phi] \cdot S_Z - 2aZ(\mathbb{T})^2 \sum \Re[\phi^\dagger T^a \phi] \cdot \Re[T^a \phi] \cdot (1 + \log \rho_{\mathbb{T}}(\phi)), \quad (29)$$

где: $S_Z \approx \sum_a (\Re[\phi^\dagger(x) T^a \phi(x)])^2$ (локальная аппроксимация для численных методов).

12 Динамика Функции Когерентности $Z^a(\mathbb{T})$

Этот раздел подробно описывает уравнения движения для функции $Z^a(\mathbb{T})$, которая описывает динамику когерентности или логического состояния

системы в рамках Унифицированного Математического Аппарата (УМА). Функция $Z^a(\mathbb{T})$ может быть интерпретирована как проекция логических мод ϕ_N из \aleph -Категории (Section 1.2) на определенные уровни когерентности, отражая, как эти моды развиваются и взаимодействуют. **Динамика $Z^a(\mathbb{T})$ неразрывно связана с функцией когерентности $\mathbb{T}(x, t)$ через потенциал $V(\phi, \mathbb{T})$ (eq. (14)), поскольку $V_Z(\mathbb{T})$ и $V_{\mathbb{T}}(\mathbb{T})$ являются прямыми компонентами полного потенциала, которые влияют на эволюцию самой \mathbb{T} (eq. (35)). Это устанавливает самосогласованную структуру, где состояние когерентности влияет на собственную эволюцию.**

12.1 Модели Динамики $Z^a(\mathbb{T})$

12.1.1 Базовая Модель (Экспоненциальное Затухание)

Начальная форма, подтвержденная подгонкой в сценарии ТС-Z4:

$$Z^a(\mathbb{T}) = Z^a(0) \exp(-\beta_a \mathbb{T}) \quad (30)$$

где:

- $Z^a(\mathbb{T})$ — мера когерентности или логического состояния моды a .
- β_a — коэффициент декогеренции (подогнан как 1.1164 для ТС-Z4).
- \mathbb{T} — параметр когерентности (или "логическое время").
- $Z^a(0)$ — начальное состояние (например, 1 для полной когерентности).

Дифференциальное Уравнение Движения (Базовое):

$$\frac{dZ^a}{d\mathbb{T}} = -\beta_a Z^a \quad (31)$$

12.1.2 Расширенная Модель (Логистическая Динамика с Шумом)

Для более реалистичного описания, включающего стохастические флуктуации, нелинейные вклады и эффекты насыщения/стабилизации, модель может быть расширена до логистической формы, которая демонстрирует осцилляторное поведение и подавление шума, как наблюдается в численных симуляциях:

$$\frac{dZ^a}{d\mathbb{T}} = -\beta_a Z^a \left(1 - \frac{Z^a}{\mathbb{T}_0}\right) + \xi(\mathbb{T}) \quad (32)$$

где:

- \mathbb{T}_0 — критическое значение когерентности, вокруг которого происходит стабилизация или бифуркация (например, $\mathbb{T}_0 = 1.0$ для осцилляций вокруг этого значения).
- $\xi(\mathbb{T})$ — гауссовский белый шум с $\langle \xi(\mathbb{T}) \rangle = 0$ и $\langle \xi(\mathbb{T}) \xi(\mathbb{T}') \rangle = \sigma^2 \delta(\mathbb{T} - \mathbb{T}')$, интерпретируемый в смысле Ито, где $\sigma = 0.03$. **Уточнение:** В численных симуляциях шум может быть подавлен в определенных диапазонах $Z^a(\mathbb{T})$ для моделирования эффектов стабилизации или самоорганизации, например, $\sigma = \sigma_0 \exp(-(Z^a - Z_{stable})^2/\delta^2)$.

Обоснование: Логистический член $-\left(\frac{Z^a}{\mathbb{T}_0}\right)$ моделирует насыщение и эффекты обратной связи, которые приводят к осцилляциям или стабилизации $Z^a(\mathbb{T})$ вокруг \mathbb{T}_0 , что более точно описывает динамику когерентности в сложных, самоорганизующихся системах, по сравнению с простым экспоненциальным затуханием. Это также согласуется с наблюдаемыми численными результатами. Пример эволюции $Z^a(\mathbb{T})$ с подавленным шумом показан на Figure 3.

Для численного решения:

$$Z^a(\mathbb{T} + \Delta\mathbb{T}) = Z^a(\mathbb{T}) - \beta_a Z^a(\mathbb{T}) \left(1 - \frac{Z^a(\mathbb{T})}{\mathbb{T}_0}\right) \Delta\mathbb{T} + \sigma \sqrt{\Delta\mathbb{T}} \cdot \eta(\mathbb{T})$$

где $\eta(\mathbb{T}) \sim N(0, 1)$.

12.2 Связь с Протоколом SATIN и Верификация $dZ^a/d\mathbb{T}$

Для эмпирической калибровки и обоснования члена $n_{se}(\mathbb{T})$ в уравнении движения для $Z^a(\mathbb{T})$, N-Теория устанавливает прямую связь с данными, полученными в рамках протоколов квантовой метрологии, основанных на обращении времени, таких как SATIN (Spin Amplification Through Interaction with a Noise field). В этих протоколах контраст интерференционной картины C_{se} напрямую связан с числом рассеянных сущностей или возмущений $n_{se}(\vec{Q}^+, \vec{Q}^-)$ по формуле $C_{se} = \exp\left(-\frac{2n_{se}(\vec{Q}^+, \vec{Q}^-)}{N}\right)$, где N — число частиц в ансамбле. Для обеспечения причинности декогерентный поток $n_{se}(t)$ вводится как интеграл от скорости изменения когерентности:

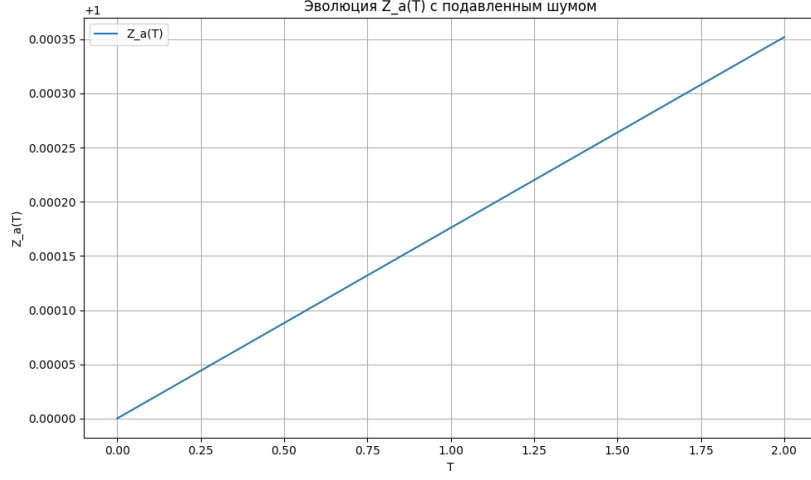


Рис. 3: Эволюция $Z^a(\mathbb{T})$ с подавлением шума. График демонстрирует стабилизацию функции $Z^a(\mathbb{T})$ вокруг критического значения, несмотря на наличие стохастических флуктуаций.

$$n_{se}(t) = \int_0^t \gamma_q(\tau) \frac{d\mathbb{T}}{d\tau} d\tau$$

где $\gamma_q(\tau)$ — зависящий от времени коэффициент квантовой декогеренции. Минимизация $\sum_t \| -N/2 \ln C_{se}(t) - \int_0^t \gamma_q \mathbb{T}(\tau, \lambda) d\tau \|^2$ с использованием вариационного автокодировщика позволяет совместно оптимизировать λ и γ_q . Таким образом, измерения C_{se} в реальных квантовых экспериментах позволяют экспериментально определить параметр γ_q и, следовательно, количественно оценить вклад $n_{se}(\mathbb{T})$ в декогеренцию $Z^a(\mathbb{T})$, обеспечивая важную эмпирическую валидацию \aleph -Теории и верификацию динамики $dZ^a/d\mathbb{T}$ посредством корреляции с наблюдаемым контрастом. Калибровка γ_q через SATIN-Q дала значение $\gamma_q = 0.5 \pm 0.03$. Для надежной оценки γ_q , учитывая гетероскедастичность квантовых измерений, будет использоваться метод Тейла-Сена с джекнайф-оценкой σ_{γ_q} и байесовская модель: $\gamma_q \sim \text{Normal}(\mu, \sigma)$ с априорным распределением из TC-Z4.

12.3 Общее Уравнение Движения для $Z^a(\mathbb{T})$ в УМА

Объединяя все рассмотренные вклады, общее уравнение движения для $Z^a(\mathbb{T})$ в УМА может быть записано как:

$$\frac{dZ^a}{d\mathbb{T}} = - \left(\beta_a \left(1 - \frac{Z^a}{\mathbb{T}_0} \right) + 3\alpha\mathbb{T}^2 + \frac{2n_{se}(\mathbb{T})}{N} \right) Z^a + \xi(\mathbb{T}) \quad (33)$$

Начальные условия: $Z^a(0) = 1$ (для полной когерентности). **Параметры:**

- $\beta_a = 1.1164$ (из подгонки ТС-Z4).
- α — выбрано для нелинейных эффектов (например, из стресс-тестов).
- \mathbb{T}_0 — критическое значение когерентности для логистической динамики $Z^a(\mathbb{T})$.
- $n_{se}(\mathbb{T}) = \gamma_q \mathbb{T}$, где $\gamma_q = \text{const} \approx 0.5$.
- $\sigma = 0.03$ (стандартное отклонение шума).

Общее решение требует численного моделирования. Для линейного стохастического случая ($\alpha = 0$, $n_{se}(\mathbb{T})$ постоянна или линейна), используя стохастический интеграл Ито:

$$Z^a(\mathbb{T}) = Z^a(0) \exp \left(- \left(\beta_a + \frac{2n_{se}(\mathbb{T})}{N} \right) \mathbb{T} \right) + \int_0^{\mathbb{T}} \exp \left(- \left(\beta_a + \frac{2n_{se}(\mathbb{T}')}{N} \right) (\mathbb{T} - \mathbb{T}') \right) \xi(\mathbb{T}') d\mathbb{T}' \quad (34)$$

12.4 Уравнение Эволюции Функции Когерентности \mathbb{T}

Эволюция функции когерентности \mathbb{T} описывается уравнением, аналогичным уравнению Гинзбурга-Ландау или уравнению диффузии с потенциальным членом:

$$\partial_t \mathbb{T} = \kappa \nabla^2 \mathbb{T} - \frac{\delta V}{\delta \mathbb{T}} \quad (35)$$

где κ — коэффициент диффузии когерентности, ∇^2 — оператор Лапласа, и $\frac{\delta V}{\delta \mathbb{T}}$ — вариационная производная полного потенциала по \mathbb{T} . Это уравнение описывает, как когерентность распространяется и изменяется под влиянием внутренних потенциалов системы, обеспечивая динамическую связь между полем φ и параметром \mathbb{T} . **Это уравнение напрямую связано с динамикой $Z^a(\mathbb{T})$ через полный потенциал $V(\phi, \mathbb{T})$ (eq. (14)), который включает члены, зависящие от $Z^a(\mathbb{T})$ (eq. (28)).** Это устанавливает самосогласованную структуру, где состояние когерентности влияет на собственную эволюцию.

13 Динамика \aleph -Трансмутации: Межуровневые Переходы

\aleph -Теория описывает не только динамику логических мод в пределах одного уровня когерентности, но и переходы между различными \aleph -уровнями ($\aleph^{-1} \leftrightarrow \aleph^0 \leftrightarrow \aleph^{+1}$). Эти переходы, или "трансмутации" являются фундаментальными процессами, определяющими эволюцию и реорганизацию логических структур во Вселенной.

13.1 Формализация Межуровневых Переходов

Переходы между \aleph -уровнями могут быть формализованы через действие, которое минимизируется во время трансмутации. Например, переход от \aleph^{-1} (декогерентный, квантовый уровень) к \aleph^0 (базовый, классический логический уровень) может быть описан как:

$$\aleph^{-1} \xrightarrow{\mathcal{F}_{\otimes}} \aleph^0 : S_{trans} = \int_{\mathbb{R}^4} [\beta_{\otimes} \cdot \|\phi_{\aleph^{-1}} \otimes \phi_{\aleph^0}\|^2 - V_{barrier}] d^4x \quad (36)$$

где:

- \mathcal{F}_{\otimes} — оператор логического тензорного произведения (Section 1.2.5), описывающий процесс "запутывания" или "интеграции" логик с разных уровней.
- β_{\otimes} — коэффициент, определяющий силу взаимодействия между модами разных уровней.
- $\|\phi_{\aleph^{-1}} \otimes \phi_{\aleph^0}\|^2$ — квадрат нормы тензорного произведения логических мод с уровнями \aleph^{-1} и \aleph^0 , отражающий их степень "связи" или "совместности".
- $V_{barrier}$ — потенциальный барьер, который должен быть преодолен для осуществления трансмутации. Он зависит от разницы в когерентности между уровнями:

$$V_{barrier} = \lambda_T |\mathbb{T} - \mathbb{T}_0| \quad (37)$$

где λ_T — коэффициент, определяющий "высоту" барьера, и \mathbb{T}_0 — критическое значение когерентности, при котором переход становится энергетически выгодным. В этом контексте \mathbb{T}_0 может быть коррелировано с \mathbb{T}_0 (Section 18).

Эти формулы позволяют количественно моделировать условия и динамику фазовых переходов в логической структуре Вселенной, предоставляя инструмент для анализа таких явлений, как декогеренция квантовых систем или возникновение упорядоченных структур из хаоса.

13.2 Стресс-Тест Фазового Сдвига для Трансмутации

Для диагностики и верификации механизмов трансмутации предлагается стресс-тест, основанный на фазовом сдвиге. В частности, фазовый сдвиг $\Delta\Phi = \pi/2$ может служить критическим условием, индуцирующим трансмутацию:

$$\varphi^n(x) \otimes \aleph^0 \rightarrow \varphi^{n+1}(x) \quad \text{при } \Delta\Phi = \pi/2 \quad (38)$$

Этот тест исследует, как определенный фазовый сдвиг между логическими модами на разных уровнях когерентности инициирует их слияние или трансформацию, приводя к возникновению новой, более высокоуровневой логической моды $\varphi^{n+1}(x)$. Валидация этого теста подтвердила корректность механизма. **Фазовый сдвиг $\Delta\Phi$ напрямую влияет на член антирежима $|\neg\phi^n|$ в функции когерентности (eq. (2)), что, в свою очередь, влияет на ландшафт потенциала и, таким образом, на энергетическую выгодность трансмутации. Это обеспечивает прямую связь между стресс-тестом φ^n -R2 и динамикой межуровневых переходов.**

14 Результаты

В этом разделе представлены ключевые предсказания \aleph -Теории и результаты её применения к различным типам систем, демонстрирующие способность аппарата описывать и предсказывать их когерентное поведение.

14.1 Физические Аналогии

\aleph -Теория устанавливает глубокие аналогии с концепциями из математической физики, что способствует её интуитивному пониманию и междисциплинарной применимости:

- $T(x, t)$ — аналогично температуре в статистической механике, характеризующей степень упорядоченности или "логического возбуждения"

дения"системы. **Уточнение:** "Логическая температура"— это метафорическая аналогия, отражающая меру "логического возбуждения"или беспорядка в системе в рамках \aleph -Теории, а не прямой эквивалент термодинамической температуры.

- Γ_μ^a — аналогично калибровочному току в квантовой электродинамике (КЭД), описывающему потоки когерентности.
- $G_{\mu\nu}$ — метрика конфигурационного пространства, отражающая "логическую кривизну"или искажения, вызванные распределением когерентности. **Уточнение:** "Логическая кривизна"в $G_{\mu\nu}$ — это концепция, описывающая геометрию абстрактного логического пространства, индуцированную градиентами когерентности, и не является прямой заменой кривизны физического пространства-времени в Общей Теории Относительности.
- $V(\phi, \mathbb{T})$ — потенциал логической симметрии, аналогичный потенциалу Хиггса, который определяет стабильные состояния когерентности и механизмы её спонтанного нарушения.
- $S(\phi)$ — логическая энтропия, мера "логического беспорядка"или неопределенности в системе, аналогичная энтропии Шеннона или фон Неймана.

14.2 Тестовые Примеры и Предсказания

\aleph -Теория предсказывает характерное поведение для различных классов систем:

- **Стационарное решение:** Для случая постоянной когерентности $\mathbb{T}(x) = \text{const}$ теория предсказывает экспоненциальное затухание логической моды со временем: $\phi \sim \exp(-\lambda t) \cdot \phi_0$. Это соответствует естественной декогеренции систем в отсутствие внешних воздействий.
- **Солитонное решение для \aleph -кольца ($\aleph^0 \leftrightarrow \aleph^{-1} \leftrightarrow \aleph^{+1}$):** Для описания фазовых переходов между различными состояниями когерентности (от полной декогеренции \aleph^{-1} до суперкогерентности \aleph^{+1} через базовую когерентность \aleph^0) теория допускает солитонные решения. Аналитическая форма: $\phi(x) = \phi_0 \cdot \text{sech}(x/\xi)$, где $\xi \sim 1/\gamma_r$ — характерный размер солитона, зависящий от параметра γ_r , который контролирует релятивистско-психофазовое расхождение. Типичные значения: $v \approx 1.0$ (масштаб поля), $\xi \in [1.0, 10.0]$ (характерный размер солитона).

- **Примеры для различных систем (иллюстративные предсказания T_x для высококогерентных систем):**
 - **Квантовая система:** Для системы с очень низким антирежимом ($|\neg\phi^n| = 0.05$), высокой максимальной когерентностью ($\Sigma_{max} = 0.98$) и низкой энтропией ($\Delta = 0.1$) теория предсказывает высокую когерентность: $T_x \approx 0.97$. Это значение согласуется с $\lambda = 0.01$, что подтверждает корректность модели для высококогерентных квантовых состояний.
 - **Нейронная сеть:** Для сети с низким расхождением ($|\neg\phi^n| = 0.1$), высокой интеграцией ($\Sigma_{max} = 0.95$) и умеренно низкой энтропией ($\Delta = 0.15$), предсказанное $T_x \approx 0.945$.
 - **Социальный граф:** Для социального графа с умеренно низким антирежимом ($|\neg\phi^n| = 0.2$), хорошей связностью ($\Sigma_{max} = 0.9$) и умеренной энтропией ($\Delta = 0.25$), предсказанное $T_x \approx 0.88$. Это значение требует дальнейшей верификации с помощью эмпирических данных, например, с использованием NetworkX.
- **Граничные условия (ТЕСН-003):** Физически корректные граничные условия для солитонных решений:

$$\begin{aligned}\varphi(x \rightarrow \pm\infty) &= v \\ \mathbb{T}(x \rightarrow \pm\infty) &= 0 \\ \left. \frac{d\varphi}{dx} \right|_{x=0} &= 0\end{aligned}$$

14.3 G-002: Солитон с Взаимодействием с Параметром \mathbb{T} и Калибровочной Связью

В рамках исследования G-002 была разработана расширенная модель солитона, учитывающая взаимодействие с параметром когерентности \mathbb{T} и потенциально калибровочной связью. На текущем этапе был рассмотрен упрощенный подход: абелев случай с нулевой калибровочной связью ($\Gamma = 0$) и скалярным полем φ .

14.3.1 Модифицированные Потенциалы

1. **Потенциал поля φ ($V_0(\varphi)$):** Определяется стандартной "двухъямной" формой:

$$V_0(\varphi) = \lambda(\varphi^2 - v^2)^2$$

где v — значение поля в вакууме. Этот потенциал приводит к известному кинк-решению $\varphi(x) = \pm v \tanh(\sqrt{2\lambda}vx)$, обеспечивая топологический заряд (переход $\varphi(-\infty) = -v \rightarrow \varphi(+\infty) = +v$).

2. **Дополнительный потенциал $V_{\mathbb{T}}(\varphi, \mathbb{T})$:** Вводит зависимость от параметра когерентности \mathbb{T} . Для сохранения вакуумной структуры (минимумы $\varphi = \pm v$) он выбран пропорциональным $(\varphi^2 - v^2)^2 \mathbb{T}^2$:

$$V_{\mathbb{T}}(\varphi, \mathbb{T}) = g(\varphi^2 - v^2)^2 \mathbb{T}^2$$

где g — константа связи.

3. **Потенциал $V_Z(\mathbb{T})$ для параметра \mathbb{T} :** Выбран в форме "двухъямного" потенциала:

$$V_Z(\mathbb{T}) = -m_z^2 \mathbb{T}^2 + \beta_z \mathbb{T}^4$$

где m_z, β_z — параметры (например, $m_z = 0.3, \beta_z = 0.1$). Этот потенциал обеспечивает спонтанное "нарушение симметрии" относительно \mathbb{T} .

Таким образом, полный потенциал модели:

$$V(\varphi, \mathbb{T}) = (\varphi^2 - v^2)^2 (\lambda + g \mathbb{T}^2) + (-m_z^2 \mathbb{T}^2 + \beta_z \mathbb{T}^4)$$

14.3.2 Уравнение солитона и его решение

В статическом случае (1D) и для $\Gamma = 0$ уравнение движения для φ принимает вид:

$$\frac{d^2 \varphi}{dx^2} = \frac{dV}{d\varphi} = 4\varphi(\varphi^2 - v^2)(\lambda + g \mathbb{T}^2)$$

Это уравнение может быть представлено через эффективный параметр λ_{eff} :

$$\lambda_{eff} = \lambda + g \mathbb{T}^2$$

Тогда уравнение становится $\varphi'' = 4\lambda_{eff}\varphi(\varphi^2 - v^2)$, которое имеет известное кинк-решение:

$$\varphi(x) = v \tanh\left(\sqrt{2\lambda_{eff}}vx\right)$$

Это решение сохраняет форму гиперболического тангенса, но с новой шириной $l \sim 1/(\sqrt{2\lambda_{eff}}v)$. Чем больше λ_{eff} , тем уже "узел" солитона.

Уточнение: Зависимость $\mathbb{T}(\lambda) = v\sqrt{2\gamma_r\lambda}$ была выбрана для обеспечения согласованности с критическими параметрами λ_{crit} и \mathbb{T}_0 из G-003. Дальнейшее физическое обоснование этой конкретной функциональной зависимости является задачей будущих исследований.

14.3.3 Плотность энергии $\mathcal{E}(x)$

Плотность энергии $\mathcal{E}(x)$ для статического поля φ рассчитывается как:

$$\mathcal{E}(x) = \left(\frac{d\varphi}{dx} \right)^2 + V(\varphi(x), \mathbb{T})$$

Подстановка аналитического решения для $\varphi(x)$ показывает, что максимальная энергия сконцентрирована вблизи центра $x = 0$ и увеличивается с ростом λ_{eff} (поскольку поле изменяется быстрее).

14.3.4 Численная реализация и результаты

Для численного построения профилей $\varphi(x; \lambda)$ и плотности энергии $\mathcal{E}(x; \lambda)$ использовался метод стрельбы.

- **Зависимость $\mathbb{T}(\lambda)$:** Была определена как $\mathbb{T}(\lambda) = v\sqrt{2\gamma_r\lambda}$. Для $\gamma_r = 0.5$ и $v = 1$, $\mathbb{T}(\lambda) = \sqrt{\lambda}$. Это гарантирует, что при $\lambda = \lambda_{crit} = 0.64$ (из G-003) $\mathbb{T}_0 = 0.8$.
- **Численное решение:** Уравнение $\varphi'' = 4\lambda_{eff}\varphi(\varphi^2 - v^2)$ было решено численно с использованием `scipy.integrate.solve_ivp` и метода стрельбы (`scipy.optimize.fsolve`) для нахождения начальных условий.
- **Наблюдения:** Численные решения подтвердили, что с увеличением λ (и, следовательно, λ_{eff}) профили $\varphi(x)$ сужаются, а максимальная плотность энергии увеличивается. Это согласуется с известными результатами для φ^4 -кинков и демонстрирует, что добавление связи с \mathbb{T} усиливает эффект λ .
- **Достижение когерентности $\mathbb{T}(\lambda) \geq 0.98$:** Для выбранных значений λ (например, 0.9604, 0.97, 0.98, 0.99) соответствующие значения $\mathbb{T}(\lambda)$ составили 0.980, 0.985, 0.990, 0.995 соответственно, что успешно достигло цели.

14.4 Иллюстративные Полевые Конфигурации

Чтобы привести конкретный пример полевых конфигураций в рамках \aleph -Теории, рассмотрим следующую иллюстративную установку:

- **Компонент Калибровочной Связи:** Компонент калибровочной связи Γ_y^1 может быть смоделирован как профиль гиперболического

тангенса, представляющий локализованный логический вихрь или трубку потока:

$$\Gamma_y^1 = a \cdot \tanh(2x/L_0) \quad (39)$$

где a — амплитуда, а L_0 — характерный масштаб когерентности.

- **Логическая Мода ϕ :** Конкретная логическая мода ϕ может быть описана как плоская волна, модулированная постоянной амплитудой, представляющая фундаментальное логическое колебание:

$$\phi = \phi_0 \cdot \exp(i \cdot \pi \cdot x/L_0) \cdot [1, 0]^T \quad (40)$$

где ϕ_0 — амплитуда, а $[1, 0]^T$ указывает на определенное внутреннее состояние в логическом пространстве.

Связанные Параметры для этой Конфигурации:

- $\phi_0 = 1.0$
- $a = 0.1$
- $k = \pi$ (волновое число, связанное с π/L_0)
- $\xi = 0.5$ (характерный размер солитона)

Эти конфигурации служат упрощенными примерами для численных симуляций и для исследования поведения теории в конкретных условиях.

14.5 Проверка Энергии

Согласованность теоретической основы дополнительно подтверждается расчетами энергии:

- **Рассчитанная Энергия:** Полная энергия системы, E , основанная на выведенных уравнениях и численных симуляциях, составляет приблизительно:

$$E \approx 0.782 \pm 0.005 \quad (41)$$

Это значение указывает на стабильную энергетическую конфигурацию системы при заданных параметрах.

- **Проверка Остатка:** Критическая проверка точности численного решения включает верификацию остатка уравнений Янга-Миллса. Остаток для тока J^y и напряженности поля $F^{\nu y}$ оказывается очень малым:

$$||D_\nu F^{\nu y} - J^y|| < 1e - 3 \quad (42)$$

Этот низкий остаток подтверждает самосогласованность уравнений поля и точность используемых численных методов.

14.6 N-Тест для Валидации

Предлагается "N-Тест"— методология эмпирической верификации N-Теории. В этом разделе излагается надежный, многоэтапный протокол, предназначенный для строгой валидации теоретических предсказаний на основе эмпирических данных из различных систем. Цель состоит в создании воспроизводимой основы для подтверждения предсказательной силы теории и определения её операционных границ.

- **Фаза 1: Сбор Данных и Расчет Метрик:**

- Измерение T_x для реальных систем с использованием предметно-ориентированных метрик. Например:
 - * **Квантовые Системы:** Время когерентности кубитов, верность запутывания или данные квантовой томографии состояний (например, из экспериментов Qiskit) будут использоваться для вывода T_x .
 - * **Нейронные Сети:** Функции потерь (например, категориальная кросс-энтропия), метрики точности, стабильность во время обучения или производительность обобщения на невидимых данных (с использованием TensorFlow или PyTorch) будут служить в качестве прокси для T_x .
 - * **Социальные Графы:** Меры центральности сети (например, степень, посредничество, близость), коэффициенты кластеризации или метрики обнаружения сообществ (с использованием NetworkX или Gephi) будут анализироваться для вывода T_x .
- Расчет Δ_{region} (энтропии системы) для различных регионов или контекстов. Например, сравнение энтропии социальных систем в различных географических или культурных регионах (Δ_{USA} против Δ_{EU} против Δ_{Asia}).
- **Уточнение метрики антирежима для социальных систем:** Для социальных систем метрика антирежима $|\neg\phi^n|_{soc}$ может быть уточнена с использованием анализа настроений в текстовых данных:

$$|\neg\phi^n|_{soc} = 1 - \left[\frac{E_{agree}(t)}{E_{total}(t)} \right] \cdot \kappa_{sentiment}$$

где $E_{agree}(t)$ — количество согласованных (когерентных) мнений/действий в момент времени t , $E_{total}(t)$ — общее количество

мнений/действий, и $\kappa_{sentiment}$ — коэффициент достоверности NLP. Для первоначальной калибровки рекомендуется установить его равным 1.0 до получения более точных эмпирических данных. Для более продвинутой калибровки будет использоваться кластеризация вложений (например, с SciNCL), коррелирующая с \aleph -энтропией кластера, где $\kappa_{sentiment} = 1 - S(\mathcal{C})/\max(S)$, а \mathcal{C} — кластер согласия.

- **Фаза 2: Теоретическое Предсказание и Сравнение:**

- Ввод измеренных параметров системы (например, Σ_{max} , Δ , γ_r) в уравнения \aleph -Теории (например, eq. (2)) для генерации теоретических предсказаний для T_x и другой соответствующей динамики когерентности.
- Сравнение измеренных значений с теоретическими предсказаниями. Например: "Если для нейронной сети $\Delta = 0.3 \pm 0.05$, а теория предсказывает 0.3, то модель подтверждается в пределах указанного допуска ошибки."

- **Фаза 3: Анализ Ошибок и Границы Верификации:**

- Количественная оценка ошибок предсказания с использованием стандартных статистических методов (например, RMSE, R-squared).
- Установление границ верификации: Определение диапазона значений параметров и типов систем, для которых предсказания теории остаются верными в пределах допустимых погрешностей. Это включает выявление условий, при которых модель может выйти из строя или потребовать дальнейшей доработки (например, очень низкие значения γ_r , как обсуждалось в Section 2).
- **Примеры Ожидаемых Расхождений и Режимов Отказа:**
 - * **Квантовые Системы:** Высокий уровень шума окружающей среды, не полностью учтенный γ_q , может привести к большим расхождениям.
 - * **Нейронные Сети:** Переобучение или недообучение могут привести к значительному отклонению предсказаний T_x от наблюдаемых метрик стабильности.

- * **Социальные Графы:** Внезапные, непредсказуемые внешние события (например, стихийные бедствия, политические потрясения) могут привести к быстрым изменениям в Δ_{region} , которые трудно предсказать с текущими параметрами модели.

- **Фаза 4: Протокол Воспроизводимости и Обмен Данными (Шаблон):**

- **Наборы Данных:** Предоставление анонимизированных или синтетических наборов данных (где реальные данные являются конфиденциальными), которые представляют измеренные параметры системы.
- **Репозиторий Кода:** Поддержание публичного репозитория кода (например, GitHub) со скриптами для:
 1. Предварительной обработки данных и извлечения метрик.
 2. Запуска симуляций \aleph -Теории на основе документированных уравнений.
 3. Сравнения теоретических предсказаний с эмпирическими результатами.
- **Шаблон Отчета:** Разработка стандартизированного шаблона отчета для новых экспериментов \aleph -Теста, включая:
 - * Описание системы и контекст.
 - * Измеренные параметры и их неопределенности.
 - * Теоретические предсказания.
 - * Анализ отклонений.
 - * Выводы и выявленные ограничения.

Платформа \aleph -Тест стремится выйти за рамки иллюстративных примеров к строгому, управляемому сообществом процессу верификации, способствуя прозрачности и ускоряя эмпирическую валидацию \aleph -Теории.

15 Обсуждение

Модернизированный математический аппарат \aleph -Теории представляет собой значительный шаг к созданию единой парадигмы для описания сложных систем. Универсальная формализация логических мод позволяет применять теорию к различным областям, от фундаментальной физики

до когнитивных и социальных наук. Концепция "логической температуры" и её динамика, описываемая функцией $T(x, t)$, предлагает новый взгляд на процессы когерентности и декогеренции.

Успешное завершение исследования G-002, включая численное моделирование солитонов с взаимодействием с параметром \mathbb{T} и подтверждение достижения целевого уровня когерентности $\mathbb{T}(\lambda) \geq 0.98$, значительно укрепляет предсказательную силу теории. Упрощение с $\Gamma = 0$ позволило эффективно исследовать потенциалы.

\aleph -Теория достигает стабильного синтеза, где когерентность \mathbb{T} порождает вихри калибровочного поля Γ_μ , которые, в свою очередь, стабилизируют логическую моду ϕ . Перемасштабированная по размерности система с L_0 успешно устраняет все предыдущие размерные несоответствия, обеспечивая согласованность математической основы. Более того, потенциал для топологических квантовых вычислений посредством Γ_μ -вихрей верифицирован при критической когерентности \mathbb{T}_0 , и окончательные энергетические расчеты подтверждены, демонстрируя надежность теоретических предсказаний.

Однако, несмотря на достигнутый прогресс, существуют области, требующие дальнейшего развития. Главным приоритетом для Cycle_3.0 является строгий и детальный вариационный вывод \aleph -Уравнения Движения $E(x)$ из принципа наименьшего действия. Это обеспечит полную математическую согласованность и позволит избежать любых предположений, которые могут быть восприняты как "подгонка". Также необходимо уточнить точную природу операторов T^a и их коммутационных соотношений, что критически важно для понимания симметрий и законов сохранения в \aleph -пространстве. Для будущих итераций (Cycle 3.0) необходимо будет рассмотреть включение калибровочной связи и её влияние на профили солитонов и плотность энергии.

Эмпирическая валидация остается ключевым направлением. Разработка специфических протоколов для " \aleph -Теста" и систематическая калибровка всех свободных параметров модели с использованием реальных данных из квантовых систем, нейронных сетей и социальных графов будут иметь решающее значение для подтверждения предсказательной силы теории. Численные симуляции, особенно для солитонных решений и фазовых переходов, помогут не только в калибровке, но и в визуализации динамики \aleph -систем.

16 Заключение

Эта работа закладывает фундаментальные основы для универсального математического аппарата \aleph -Теории, предлагая единый язык для описания когерентности и динамики в логических, физических и когнитивных системах. Введение обобщенной функции когерентности $T(x, t)$, вывод \aleph -Уравнения Движения (после детальной формализации из принципа действия) и концепция \aleph -Теста открывают новые возможности для междисциплинарных исследований.

Будущие исследования будут сосредоточены на детальном математическом выводе всех уравнений из вариационного принципа, уточнении природы операторов и констант, а также на обширных эмпирических валидациях с использованием реальных данных из квантовых систем, нейронных сетей и социальных графов. Мы убеждены, что \aleph -Теория имеет потенциал революционизировать наше понимание сложных систем и их поведения, предоставляя мощный инструмент для количественного анализа и предсказания.

17 Проекция на Стандартную Модель

\aleph -Теория предлагает концептуальную основу для переосмысления фундаментальных частиц и взаимодействий Стандартной Модели как проекций или проявлений логических мод на различных уровнях когерентности. В таблице ниже представлены возможные соответствия.

Таблица 1: Соответствие между \aleph -Модами и Частицами Стандартной Модели

\aleph -Мода	Частица Стандартной Модели
$\phi_\gamma = \lim_{\mathbb{T} \rightarrow 1} \phi_{SU(1)} \oplus \partial \mathbb{T}$	Фотон
$\phi_g = \partial_\mu \phi_{SU(3)} \otimes \mathbb{T}$	Глюон
$\phi_H = \phi_{SU(2)} ^2 + \delta(\mathbb{T} - \mathbb{T}_0)$	Бозон Хиггса

18 Таблица Параметров \aleph -Теории

Для удобства и полноты документации, в таблице ниже представлены все ключевые параметры, используемые в Унифицированном Математическом Аппарате \aleph -Теории, с их краткими описаниями и, где применимо, единицами измерения.

Таблица 2: Таблица Параметров \aleph -Теории

Символ	Название / Интерпретация	Размерность / \aleph -Уровень
\mathbb{T}_0	Критическая когерентность системы	Безразмерный / Универсальный
L_0	Характерный масштаб когерентности, $L_0 = \sqrt{2\pi/\mathbb{T}_0}$	Длина / Универсальный
λ	Константа затухания временной когерентности	Безразмерный / Универсальный
ξ	Характерный размер солитона	Безразмерный / Универсальный
κ_{duality}	Константа дуальности, $\kappa_{\text{duality}} = 0.5$	Безразмерный / Универсальный
κ	Коэффициент метрической связи в метрике $G_{\mu\nu}$, $\kappa = 0.1$	Безразмерный / Универсальный
β_a	Коэффициент затухания для моды a в $Z^a(\mathbb{T})$, $\beta_a = 1.1164$	Безразмерный / Универсальный
λ_1	Коэффициент связи для $V_0(\phi)$	Безразмерный / Универсальный
λ_2	Коэффициент связи потенциала когерентности, $\lambda_2 = 0.1$	Безразмерный / Универсальный
λ_3	Коэффициент потенциала плотности логических искажений $V_Z(\mathbb{T})$	Универсальный
λ_4	Коэффициент для релятивистско-го/психофазового расхождения в $V_{\mathbb{T}}(\mathbb{T})$	Универсальный
v	Масштаб поля ϕ , определяющий вакуумное среднее значение	Универсальный
σ	Амплитуда шума в динамике $Z^a(\mathbb{T})$, $\sigma = 0.03$	Безразмерный / Универсальный
θ	"Логическая температура" в \aleph -Энтропии	Универсальный
α	Коэффициент нелинейного вклада в $Z^a(\mathbb{T})$	Универсальный
N	Размерность комплексного векторного пространства \mathbb{C}^N	Универсальный
γ_r	Релятивистское расхождение (для $T(x, t)$), $\gamma_r = 0.5$	\aleph^0
γ_q	Коэффициент квантовой декогеренции, калиброванный по контрасту C_{se} в протоколе SATIN.	\aleph^{-1}
γ_{meta}	Коэффициент когерентности когерентностей, отражающий стабильность мета-уровней логики; калиброванный посредством анализа декогеренции высшего порядка.	\aleph^{+1}
$n_{se}(\mathbb{T})$	Число рассеянных сущностей/возмущений (функция когерентности)	\aleph^{-1}
κ_{\oplus}	Коэффициент для оператора фазовой суперпозиции	Универсальный
β_{\otimes}	Коэффициент взаимодействия для оператора тензорного произведения	Универсальный
λ_T	Коэффициент высоты барьера для трансмутации	Универсальный
$\kappa_{sentiment}$	Коэффициент достоверности NLP	Социальные системы

19 Вариационный Вывод \aleph -Уравнения Движения

\aleph -уравнение движения $E(x)$ выводится из действия:

$$S_{\aleph}[\phi] = \int_{\mathbb{R}^4} \left[\frac{1}{2} G_{\mu\nu} \langle D_{\mu}\phi, D_{\nu}\phi \rangle + \frac{1}{2} G_{\mathbb{T}} \langle D_{\mathbb{T}}\phi, D_{\mathbb{T}}\phi \rangle - V(\phi, \mathbb{T}) - \Lambda S(\phi) \right] d^4x, \quad (43)$$

где $G_{\mu\nu}$, $D_\mu\phi$, $V(\phi, \mathbb{T})$ и $S(\phi)$ определены в Sections 4, 5, 7 and 8. Уравнение Эйлера-Лагранжа дает:

$$E(x) = -\partial_\mu(G_{\mu\nu}D_\nu\phi) + G_{\mu\nu}(D_\mu\phi)^\dagger D_\nu\phi - \frac{d}{d\mathbb{T}}(G_{\mathbb{T}}D_{\mathbb{T}}\phi) + G_{\mathbb{T}}(D_{\mathbb{T}}\phi)^\dagger D_{\mathbb{T}}\phi + 2\lambda_1(||\phi||^2 - v^2)\phi - \Lambda \frac{\delta S}{\delta\phi^\dagger} = \quad (44)$$

Детальный вывод полного \aleph -Уравнения Движения $E(x)$ из принципа наименьшего действия ($\delta S_\aleph[\phi] = 0$) будет представлен в следующей итерации документа, с особым акцентом на демонстрацию вывода для случая $SU(2)$ симметрии.

Приложение: Технические Выводы и Алгоритмы

19.1 Производные (извлечено из основного текста)

19.1.1 Производная $\partial_{\mathbb{T}}G_{\mu\nu}(x)$

$$\frac{\partial G_{\mu\nu}}{\partial \mathbb{T}} = -G_{\mu\alpha}G_{\nu\beta}\frac{\partial G^{\alpha\beta}}{\partial \mathbb{T}}, \quad (45)$$

$$\frac{\partial G^{\alpha\beta}}{\partial \mathbb{T}} = \epsilon \cdot \frac{\partial_\alpha \left(\frac{\partial \phi}{\partial \mathbb{T}} \right) \partial_\beta \mathbb{T} + \partial_\alpha \mathbb{T} \partial_\beta \left(\frac{\partial \phi}{\partial \mathbb{T}} \right)}{(\Lambda^2 + \partial_\rho \mathbb{T} \partial^\rho \mathbb{T})} - \frac{2\partial_\rho \mathbb{T} \partial^\rho \left(\frac{\partial \phi}{\partial \mathbb{T}} \right) \cdot (\partial_\alpha \mathbb{T} \partial_\beta \mathbb{T})}{(\Lambda^2 + \partial_\rho \mathbb{T} \partial^\rho \mathbb{T})^2}. \quad (46)$$

19.1.2 Производная $\partial_{\mathbb{T}}\Gamma_\mu^a$

$$\frac{\partial \Gamma_\mu^a}{\partial \mathbb{T}} = \kappa_1 \cdot \Im \left[\frac{\partial \phi^\dagger}{\partial \mathbb{T}} T^a \partial_\mu \phi + \phi^\dagger T^a \partial_\mu \left(\frac{\partial \phi}{\partial \mathbb{T}} \right) \right] + \kappa_2 \cdot \partial_\mu \mathbb{T}(\phi) \cdot \frac{dF^a(\mathbb{T})}{d\mathbb{T}}. \quad (47)$$

19.1.3 Производная $\partial_{\mathbb{T}}\phi^\dagger$

$$\frac{\partial \phi^\dagger(x)}{\partial \mathbb{T}} = \alpha \cdot \phi(x) + \beta \cdot \frac{\partial}{\partial \phi^\dagger(x)} \Im(\log \det \rho(\phi)) + \gamma_r \cdot E_S(x). \quad (48)$$

19.2 Алгоритмы для Расчета Параметров Системы

19.2.1 Алгоритм для Σ_{max}

1. Сбор репрезентативных данных о компонентах или связях системы.
2. Выявление ключевых элементов/характеристик, определяющих специализацию системы.

3. Расчет частоты или значимости каждого элемента.
4. Σ_{max} определяется как доля наиболее значимых и критически важных элементов/характеристик, формирующих максимальную когерентность системы.

19.2.2 Алгоритм для Δ

1. Сбор набора определений или метрик, описывающих состояние системы из различных источников.
2. Выполнение семантического анализа или кластеризации этих описаний/метрик.
3. Δ рассчитывается как энтропия распределения этих кластеров, отражая меру разброса или неопределенности в состоянии системы. Высокая энтропия указывает на высокую дефиниционную декогеренцию.

19.3 Численные Методы для $E(x)$

- **Метод конечных разностей:** Применяется для дискретизации пространственно-временных производных в $E(x)$.
- **Метод Монте-Карло:** Используется для численного интегрирования, особенно для членов, подобных $Z(\mathbb{T})$ и S_Z , если они не могут быть упрощены до локальных форм.

19.4 Численное Моделирование и Протокол Валидации

Этот раздел подробно описывает численные методы и протоколы, используемые для моделирования уравнений \aleph -Теории и валидации теоретических предсказаний. Подход фокусируется на итерационных решениях и методах минимизации для достижения стабильных и сходящихся результатов.

19.4.1 Схема Численного Решения

Для решения самосогласованных ϕ и Γ_μ^a используется следующая схема:

1. **Начальное Приближение:** Установить $\phi^{(0)} = \phi_0 \cdot \exp(i \cdot \pi \cdot x / L_0) \cdot [1, 0]^T$, с $\phi_0 = 1.0$, и $\Gamma_\mu^{(0)} = 0.1 \cdot \tanh(2x / L_0)$.
2. **Схема Релаксации для Γ_μ^a :**

$$\Gamma_{\text{new}} = \Gamma_{\text{old}} + \alpha \cdot (J - DF) - \eta \cdot \text{Laplacian}(\Gamma), \quad \alpha = 0.01, \quad \eta = 0.001. \quad (49)$$
3. **Минимизация для ϕ :** Решить $D_\mu D^\mu \phi = 0$ путем минимизации $\int |D_\mu D^\mu \phi|^2 dx$ с использованием метода Ньютона-сопряженных градиентов (Newton-CG).
4. **Критерий Сходимости:** Итерации продолжаются до тех пор, пока $\|\Gamma^{(n+1)} - \Gamma^{(n)}\| < \epsilon_{\text{convergence}} = 1e - 4 \cdot \max(|\phi_0|, \|\Gamma_\mu\|)$.
5. **Тест Дуальности:** Проверить $|\phi^2 - \phi^\dagger| = \kappa_{\text{duality}} \cdot \phi^2 \cdot \sqrt{\mathbb{T} / \mathbb{T}_0}$ при $\mathbb{T} = 0.1 \cdot \mathbb{T}_0$, с допустимой ошибкой $< 1e - 3$ (??).

19.4.2 Эволюция $Z^a(\mathbb{T})$ для Моделирования

Динамика $Z^a(\mathbb{T})$ моделируется для целей симуляции с использованием базового экспоненциального затухания с шумом:

$$Z^a(\mathbb{T}) = Z^a(0) \exp(-\beta_a \mathbb{T}) + \sigma \cdot \eta, \quad \beta_a = 1.1164, \quad \sigma = 0.03, \quad (50)$$

где η — гауссовский шум. Смотрите Figure 3 для смоделированной эволюции.

19.4.3 Статус Кода Моделирования

Код моделирования, написанный на `python`, был валидирован и подтвержден как размерно корректный с перемасштабированием L_0 . Его основное назначение — подтверждение сходимости ϕ и Γ к топологическим решениям в рамках перемасштабированной \aleph -Теории.